

水平板による防波堤に関する研究

九州大学 正員 井島武士 同 学生員 ○ 塩沢俊彦
 同 正員 小林彰 同 正員 江山泰彦
 同 学生員 末永浩毅

著者等は 植栽グリーンの種子工法による防波堤や構造(6角柱の両端にフランジを有するアーリング)で それらを積み上げた時に全体としては水平な板と柱を組み合わせた構造となる。)についての研究を行って来たが、先の実験研究によりこの式が実用上有効であることを確認した。本報告においてはその防波堤における波的作用に対する理論的解明を試み 又その検証として実験を行つた。

1. 防波堤の構造

1枚以上の水平な板とそれに直角な柱から成る透過性の防波堤であるが 今回は 放射状を簡単化する為に 図1の如く長さと幅の板を静水面工に1枚或いは 静水面と水底の間に更に1枚水平に固定したものについて調べた。

2. 理論

ここでは 紙面の都合上 1枚板からなる防波堤について 大略を述べる ところが 2枚板の場合も 大体同様である。

現象を速度ポテンシャルを有する完全流体の2次元運動と見なしして 図1の様に又軸をとり (I) ($x \geq l$, $-h \leq z \leq 0$), (II) ($-l \leq x \leq l$, $-h \leq z \leq 0$), (III) ($x \leq -l$, $-h \leq z \leq 0$) の3つに領域を区分し 各領域において速度ポテンシャルを ϕ_1 , ϕ_2 , ϕ_3 とする。 ϕ_1 , ϕ_2 , ϕ_3 について 各々次のラプラス方程式が成立せねばならぬ。

$$\frac{\partial^2 \phi}{\partial x^2} + \frac{\partial^2 \phi}{\partial z^2} = 0 \quad (1)$$

各速度ポテンシャルは 式(1)と境界条件とから各々以下の様に決定される。

領域(I)では $x \rightarrow \infty$ で ϕ_1 は有界 $z = -h$ で $\partial \phi_1 / \partial z = 0$

$$z = 0 \text{ で } \frac{\partial \phi_1}{\partial t^2} + g \frac{\partial \phi_1}{\partial t} = 0 \quad (2)$$

$$\text{よって } \phi_1(x, z, t) = e^{i\omega t} [(A e^{i\omega x} + B e^{-i\omega x}) \frac{\cosh k_z(z+h)}{\cosh k_z h} + \sum_{n=1}^{\infty} C_n e^{-k_n x} \frac{\cos k_n(z+h)}{\cos k_n h}] \quad (3)$$

領域(II)では $z = 0$, $z = -h$ で $\partial \phi_2 / \partial z = 0$

$$\phi_2(x, z, t) = e^{i\omega t} \sum_{n=0}^{\infty} (D_n \cosh \frac{i\pi n x}{h} + E_n \sinh \frac{i\pi n x}{h}) \cos \frac{i\pi z}{h} \quad (4)$$

$$\text{領域(III)では } \phi_3(x, z, t) = e^{i\omega t} [F e^{i\omega x} \frac{\cosh k_z(z+h)}{\cosh k_z h} + \sum_{n=1}^{\infty} G_n e^{k_n x} \frac{\cos k_n(z+h)}{\cos k_n h}] \quad (5)$$

ここで A , B , C_n , D_n は 各々入射波 反射波 定常波 透過波を表す定数で D_n , G_n は含めてこれらは境界条件より定まる定数である。又 i は入射波の frequency $2\pi/T$, k は $k = (3)\text{式}1'$ で求められる式より定まる定数である。 $0^2 h/g (= 2\pi h/L_0) = kh \tanh kh = - \tanh \tanh kh$

各領域の境界において 流体運動が連続である為に 速度 底力について 連続である必要があり 次式が成立す。

$$x = l \text{ で } \frac{\partial \phi_1}{\partial x} = \frac{\partial \phi_2}{\partial x} \quad \frac{\partial \phi_1}{\partial t} = \frac{\partial \phi_2}{\partial t} \quad (6)$$

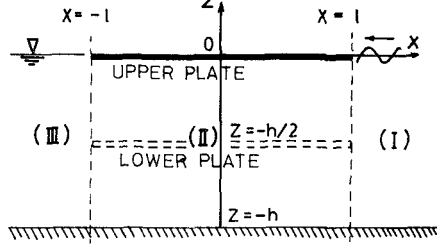


Fig. 1 BREAK WATER

$$x = -l z \quad \partial p_2 / \partial x = \partial \phi_3 / \partial x \quad \partial \phi_2 / \partial t = \partial \phi_3 / \partial t \quad (7)$$

式(3) (4) (5)について $A e^{ikl} = a, B e^{-ikl} = b, C n e^{iknl} = c, D r \cosh \frac{l \pi l}{h} = d r, E r \sinh \frac{k \pi l}{h} = e r$
 $F e^{ikl} = f, G n e^{iknl} = g n$ $\frac{kh}{\pi} = \lambda_0 \frac{knh}{\pi} = \lambda_n$ とおいて (6), (7)に代入して計算を行ってゆくと
 $(b + f) e^{i \sigma r} + i \sum_{n=1}^{\infty} \frac{\lambda_n^2 + r^2}{\lambda_n^2 - r^2} \cdot \frac{\lambda_n + r \tanh RH}{\sqrt{\lambda_n^2 + (r \tanh RH)^2}} (C_n + g_n) = a e^{i \sigma r} \quad (8)$

$$(b - f) e^{i \sigma r} + i \sum_{n=1}^{\infty} \frac{\lambda_n^2 + r^2}{\lambda_n^2 - r^2} \cdot \frac{\lambda_n \tanh RH + r}{\sqrt{(a \tanh RH)^2 + r^2}} (C_n - g_n) = a e^{i \sigma r} \quad (9)$$

$$g_n = \frac{\lambda_n^2 + r^2}{\lambda_n^2 - r^2} \cdot \frac{\lambda_n \tanh RH + r}{\sqrt{(a \tanh RH)^2 + r^2}}$$

の2式を得る。これらをも、 C_n, f, g_n にハドウの重なり式と見なして解く。更に若干の計算の後
 $d r, D_s, E_r$ を求める。即ち、 a が与えられれば $b, f, g_n, d r, D_s, E_r, f, g_n$ が求まり、従って各
 $\rho \tau \text{ンシャル}$ が決まる。(式は略す)

これら結果を元に 反射率 通過率 圧力が次々様にして求まる。即ち反射率を K_r 通過率を K_t
 \rightarrow する

$$K_r = |f/a| \quad K_t = |d r/a|$$

領域(II)における圧力 p 流体密度 ρ 壓力加速度 g 入射波の振幅を α とすると

$$p/\rho g = -\frac{l}{\pi} \frac{\partial p_2}{\partial t} = a e^{i(kl+ot)} \left[\frac{D_s}{a} + \sum_{r=1}^{\infty} \left(\frac{dr}{a} \frac{\cosh RH x/l}{\cosh RH} + \frac{er}{a} \frac{\sinh RH x/l}{\sinh RH} \right) \cos RH x/l \right] \quad (10)$$

水平板に接する部分の圧力を $p_z = 0$ とするば $(10) \rightarrow z = 0$ とおく

$$p_z = 0/\rho g = a e^{i(kl+ot)} \left[\frac{D_s}{a} + \sum_{r=1}^{\infty} \frac{dr}{a} \frac{\cosh RH x/l}{\cosh RH} + \frac{er}{a} \frac{\sinh RH x/l}{\sinh RH} \right] \quad (11)$$

水平板における平均圧力は 金圧力 P_u と $P_u/\rho g$ で表される。

$$P_u/\rho g = \frac{1}{l} \int_{-l}^l p/\rho g \, dx = a e^{i(kl+ot)} \cdot 2l \left[\frac{D_s}{a} + \sum_{r=1}^{\infty} \frac{dr}{a} \frac{\tanh RH}{RH} \right] \quad (12)$$

3 実験

上記の理論の検証の為に理論と同様の条件で反射率 通過率 圧力についての実験を行った。幅100 cm 深さ60 cm 長さ20 m の造波水槽を用い、水深を40 cm とし、波高を容量式波高計で波高とトランステューサーを用いて測定した。

4 計算及び実験の結果

(1) 反射率 K_r , 通過率 K_t

図2, 3, 4 ($2\pi h/L_0 = 6.7/g$) に関する K_r, K_t の値を示す。これによると板幅が増すと K_r は著しく増加し 反射率 K_t は著しく減少を示す。(図2, 3参照) 又二枚板の場合の方が一枚板に比し K_r は大きくなり K_t は小さい。(図3, 4参照)

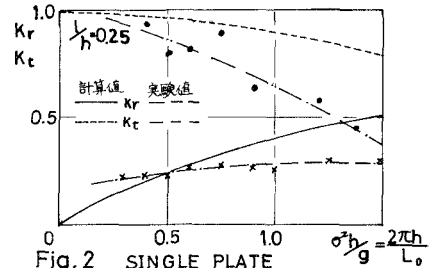


Fig. 2 SINGLE PLATE

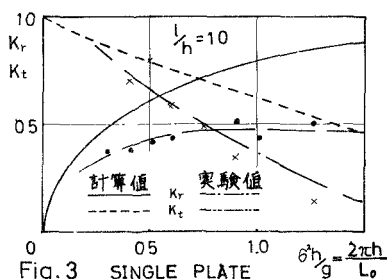


Fig. 3 SINGLE PLATE

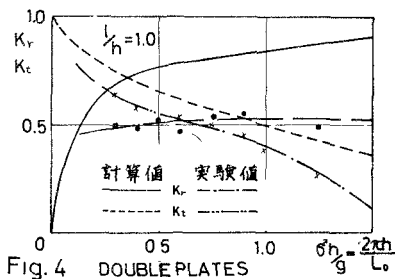


Fig. 4 DOUBLE PLATES

(2) 水平板に作用する圧力

図5に静水面に位置する水平板に作用する単位表面当たりの平均圧力 $P_u / 4\pi g d L$ (P_u は水平板面積に働く単位奥行き当たりの全圧力) を $2\pi h/L_0$ についてプロットした。これによると $2\pi h/L_0$ が増すと平均圧力は減少していく。又 h/L_0 が増す程、即ち板幅が大きくなる程減少していく。2枚板の場合は1枚板に比し若干圧力が大きい。(しかし計算値よりしあが0.4以下ではこの傾向は逆になっていた。)

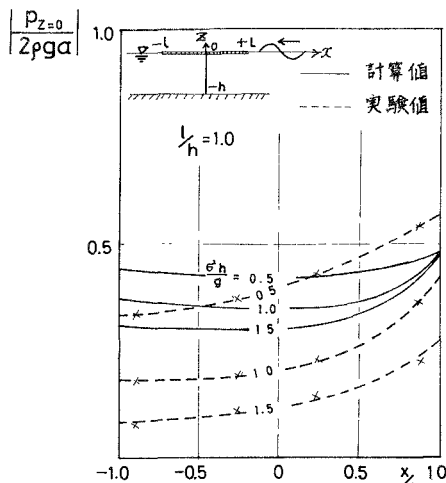


Fig. 6 PRESSURE DISTRIBUTION TO PLATE (SINGLE PLATE)

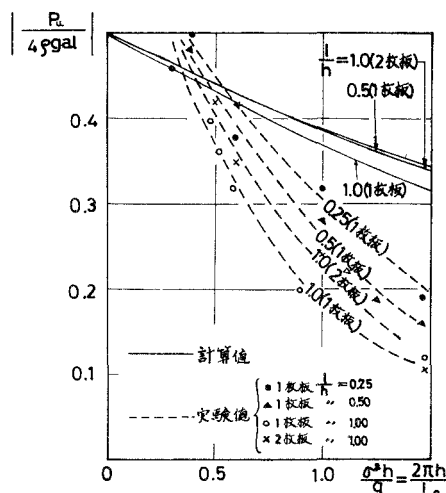


fig. 5 AVERAGED UPLIFT TO PLATE

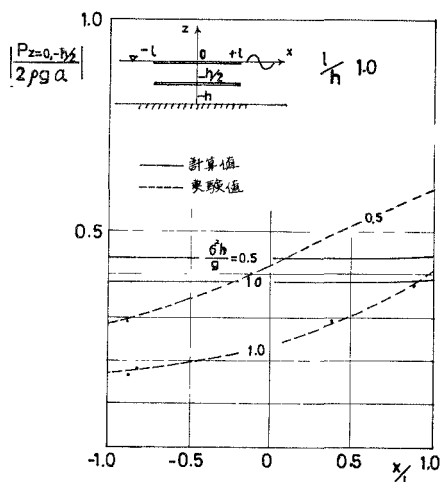


Fig. 7 PRESSURE DISTRIBUTION TO UPPER PLATE (DOUBLE PLATES)

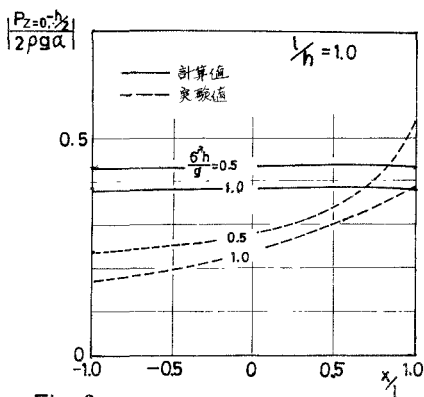


Fig. 8 PRESSURE DISTRIBUTION TO LOWER PLATE (DOUBLE PLATES)

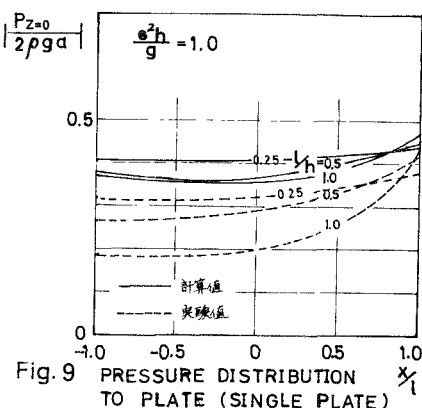


Fig. 9 PRESSURE DISTRIBUTION TO PLATE (SINGLE PLATE)

図6, 7, 8に1枚板及び2枚板防波堤の各水平板に作用する単位波高当たりの圧力分布を示す。以下よりと堤の前端附近で圧力が大きく後端にいくにつれ漸いに減少する傾向にあらが計算値によればこの変化の度合は板数を増すことにより弱まる。しかし実験値では必ずしもこのことは認められぬ。

しかしながら減少すると圧力は水平板の前端部を除けば大体において増大し又圧力分布は一様にかかる傾向を示している。その例として1枚板防波堤における $2\pi h/L_0 (=0.4/g) = 1.0$ の場合を図9に示す。

5 結 論

水平板の幅及び枚数が増せば波の反射が増し、透過は減少する。特に板の幅は大きな影響を与える。このことから水平板下に位置する水鏡がそれ自身防波堤の役割を果し、波の透過を妨げ反射を促すものと考えられこの傾向は、板幅が増すに従い強くなる。

反射率 透過率共に実験値の方がトマ�이며これは実際の場合には波のエネルギーの損失があり予測した結果である。

圧力は、板幅が大きくなるにつれ減少する傾向にある(しかし全圧は板幅が大きい程大である)。又波長の大きい波ほど圧力は大きい。

圧力分布は堤の前端で最も大きく後端にいく程減少し且つ勾配も小さくなるが計算値によると板の枚数を増すことにより圧力分布は、平均化される。又、板幅が狭い程圧力分布が平均してなる。

以上、全体的に見て計算値と実験値の値そのものについては、充分な一致を見たが、傾向としてはほぼ一致している。尚実験においては底面が空になり、或いは波高が大きくなりにつれ、空気か水平板下に流入して騒動の影響が受けられたり或いは水平板その他によるエネルギー損失を考えられるなど理論式に考慮されない条件が付いてきたこと等幾つかの問題点が残されてゐる。